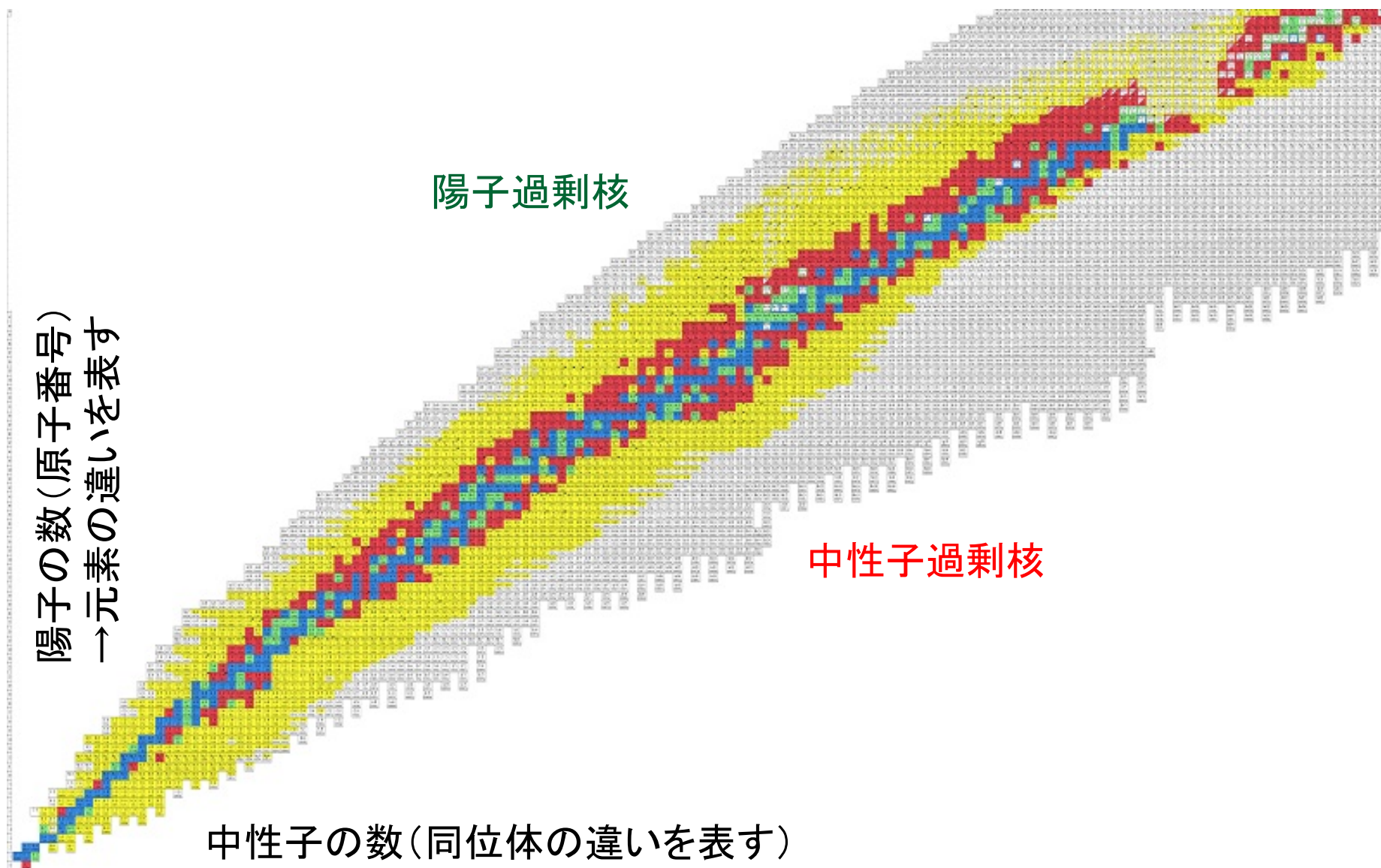


核分裂の理論

関西大学システム理工学部
和田隆宏

RIBF討論会 於:新潟大学 2012年12月27日

核図表



なぜ核分裂するか

■ ワイツゼッカー・ベータの質量公式

$$M(Z, N) = Zm_p + Nm_n - B(Z, N) / c^2$$

$$B(Z, N) = a_v A - a_s A^{2/3} - a_c \frac{Z^2}{A^{1/3}} - a_{sym} \frac{(N - Z)^2}{A} + \delta(A)$$

体積項 表面項 クーロン項 対称項 対相関項

$$\begin{aligned} a_v = 15.6 \text{MeV}, \quad a_s = 17.2 \text{MeV} \\ a_c = 0.70 \text{MeV}, \quad a_{sym} = 23.3 \text{MeV} \end{aligned} \quad \delta(A) = \begin{cases} 12 / \sqrt{A} & (Z : \text{偶数}, N : \text{偶数}) \\ -12 / \sqrt{A} & (Z : \text{奇数}, N : \text{奇数}) \\ 0 & (A = Z + N : \text{奇数}) \end{cases}$$

□ ベータ安定線 (ハイゼンベルグの谷)

- Zが小 対称エネルギー N=Z
- Zが大 対称エネルギー + 静電エネルギー N>Z

核子当りの結合エネルギー

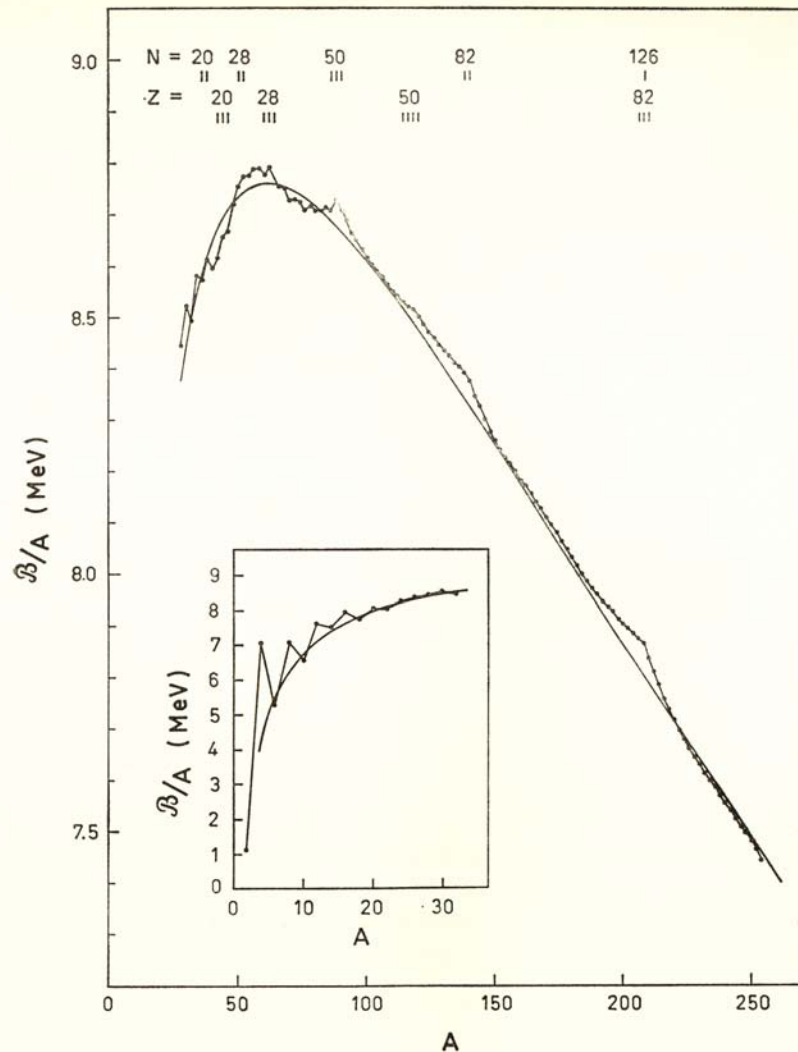
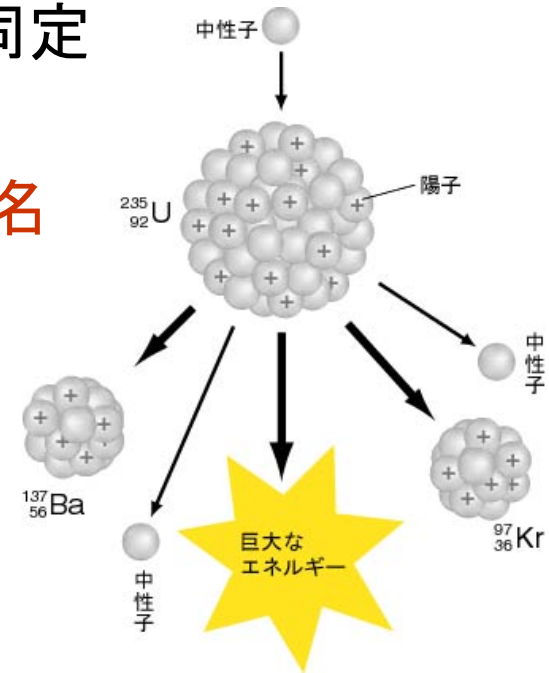


図2-4 結合エネルギーの実験値は J. H. E. Mattauch, W. Thiele, and A. H. Wapstra, *Nuclear Phys.* 67, 1 (1965) の編集物からとった。滑らかな曲線は、半経験的質量公式 (2-12) を表す。ただし、定数は A. E. S. Green and N. A. Engler, *Rhys. Rev.* 91, 40 (1953) の与えた値を用いている。

- 1核子当り約8MeV
- 質量公式による滑らかな曲線の周りに振動
→ 殻補正エネルギー
- Fe付近が最も安定
 - 軽い核 → 表面エネルギー
 - 重い核 → 静電エネルギー
- 重い原子核の核子当りの結合エネルギーは質量数と共に減少する
- 軽い原子核は核融合によってエネルギーを生み出す
- 重い原子核は核分裂でエネルギーを放出する

核分裂の発見

- ベルリングループ (L. Meitner, O. Hahn, F. Strassmann)
 - O. Hahn, F. Strassmann (1938)
 - $U + n$ でRa的な元素を発見 → Ba と同定
 - L. Meitner, O. Frisch (1939)
 - $U + n \rightarrow Ba + Kr$ と解釈、核分裂と命名
- 理論的裏付け
 - Bohr, Wheeler (1939)
 - $^{235}\text{U} + n \rightarrow \text{Ba} + \text{Kr} + 200\text{MeV}$
 - $^{238}\text{U} + n \rightarrow ^{239}\text{U} \rightarrow ^{239}\text{Np} \rightarrow ^{239}\text{Pu}$
 - 液滴模型による分裂障壁の計算



Bohr-Wheeler理論

■ 変形によるエネルギー変化

□ 表面エネルギー vs. クーロンエネルギー

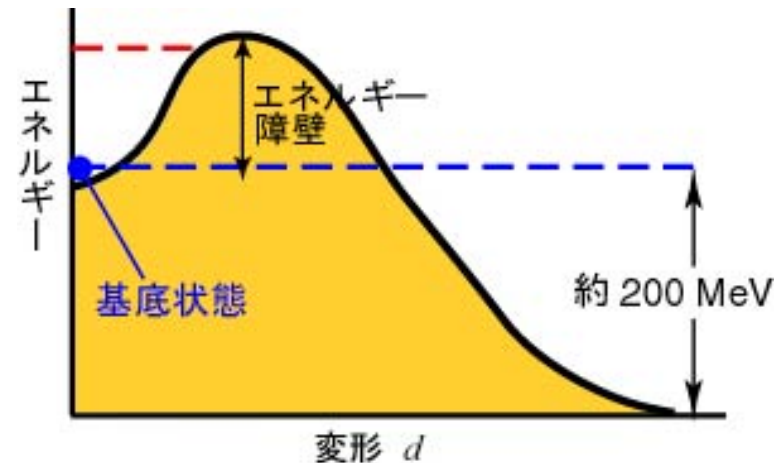
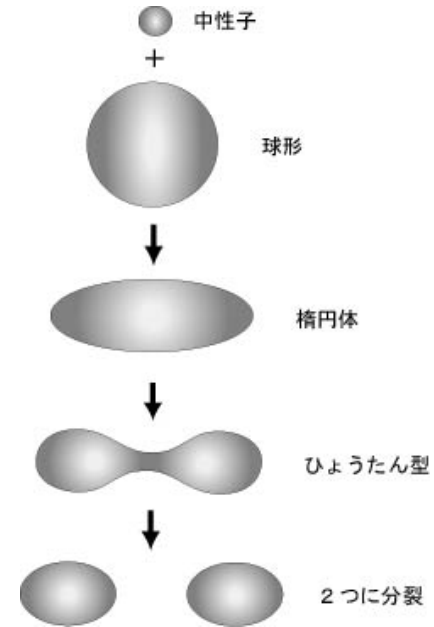
$$E_{LDM}(def) = E_S(0)[B_S(def) - 1 + 2x(B_C(def) - 1)]$$

$$B_S(def) = \frac{E_S(def)}{E_S(0)} > 1, \quad B_C(def) = \frac{E_C(def)}{E_C(0)} < 1$$

$$x = \frac{E_C(0)}{2E_S(0)} = \frac{Z^2/A}{(Z^2/A)_{crit}} \approx \frac{Z^2/A}{50}$$

■ 分裂障壁の高さ ($x \approx 1$)

$$B_f \approx E_S(0)[0.73(1-x)^3 - 0.33(1-x)^4]$$



--- 励起状態
 --- 基底状態

遷移状態の方法 (Transition State Method)

■ 分裂幅の計算

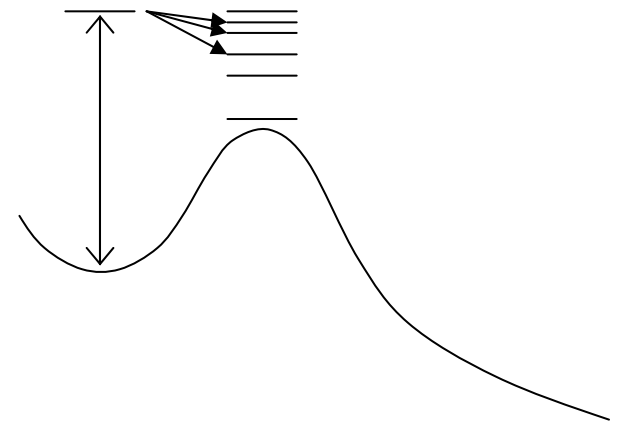
$$dE \int_0^{E-B_f} \frac{v dp}{2\pi\hbar} \rho_A^*(E - B_f - \varepsilon) = dE \frac{\Gamma_f}{\hbar} \rho_A(E) \quad \text{単位時間当たりの核分裂の数}$$

$$\Gamma_f = \frac{1}{2\pi\rho_A(E)} \int_0^{E-B_f} d\varepsilon \rho_A^*(E - B_f - \varepsilon)$$

■ フェルミガス模型による準位密度

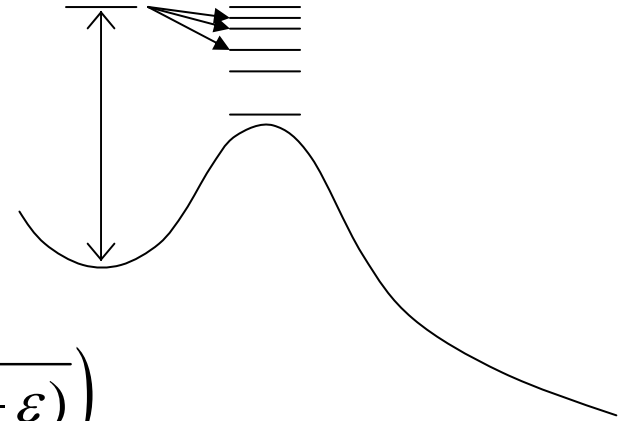
$$\rho(E^*) \propto \exp\left(2\sqrt{aE^*}\right)$$

$$\Gamma_f = \frac{T}{2\pi} \exp\left(-\frac{B_f}{T}\right) \quad E^* = aT^2$$



Transition state method

- フェルミガス模型による核分裂幅
 - 鞍点法による積分評価



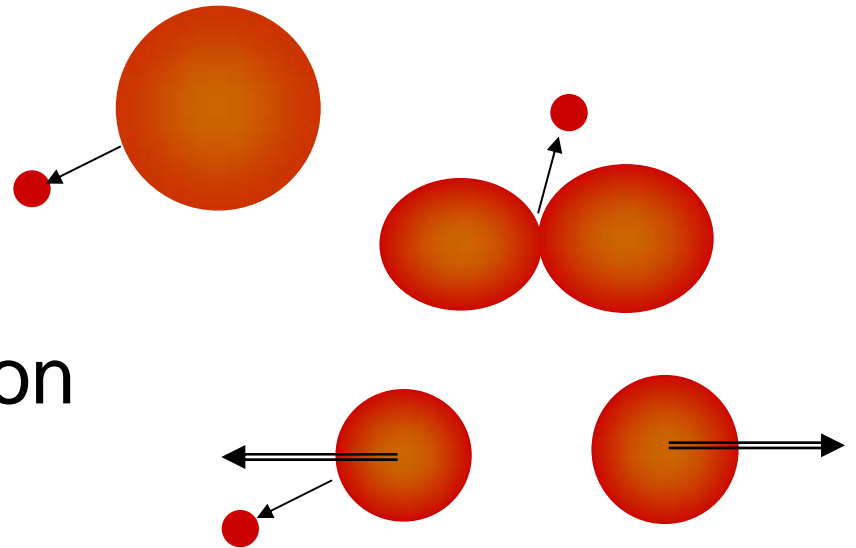
$$\begin{aligned}\Gamma_f &= \frac{1}{2\pi \exp(2\sqrt{a_0 E})} \int_0^{E-B_f} d\varepsilon \exp(2\sqrt{a_s(E-B_f-\varepsilon)}) \\ &= \frac{1}{2\pi \exp(2\sqrt{a_0 E})} \int_0^{E-B_f} d\varepsilon \exp\left(2\sqrt{a_s(E-B_f)}\left(1-\frac{\varepsilon}{2(E-B_f)}\right)\right) \\ &= \frac{1}{2\pi \exp(2\sqrt{a_0 E})} \int_0^{E-B_f} d\varepsilon \exp(2\sqrt{a_s(E-B_f)}) \exp\left(-\varepsilon \sqrt{\frac{a_s}{E-B_f}}\right) \\ &= \frac{1}{2\pi} \sqrt{\frac{E-B_f}{a_s}} \exp(2\sqrt{a_s(E-B_f)} - 2\sqrt{a_0 E})\end{aligned}$$

核分裂から何を学ぶのか

- 大振幅運動
 - 変形に伴うエネルギー変化
 - 集団運動と散逸
 - 大振幅運動のダイナミクス
- サドル点と分裂の谷
- ネックの形成と断裂
- 分裂時のエネルギー分配
 - 非平衡統計力学
- 分裂片の性質
 - Z,N分布、変形、励起エネルギー

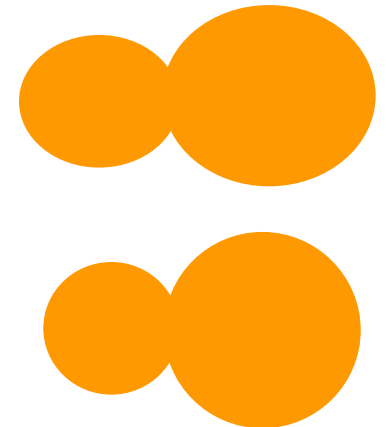
Key quantities in fission

- Fission rate
 - Height of fission barrier
- Neutron emission
 - Pre-scission neutrons
 - Scission neutrons
 - Post-scission neutrons
- Charged particle emission
- Gamma emission
- Fragment mass distribution
- Fragment kinetic energy distribution



Mass & TKE distribution

- Mass distribution is essentially determined by shell correction energy
 - At saddle :position & height fission barrier
 - Fission valleys and ridges
 - Fragments :magic number
- TKE (total kinetic energy)
 - Mainly Coulomb repulsion
 - Scission configuration
 - Nature of nuclear liquid (dissipation)
- Dynamical treatment is necessary



揺動散逸動力学

■ ブラウン粒子描像

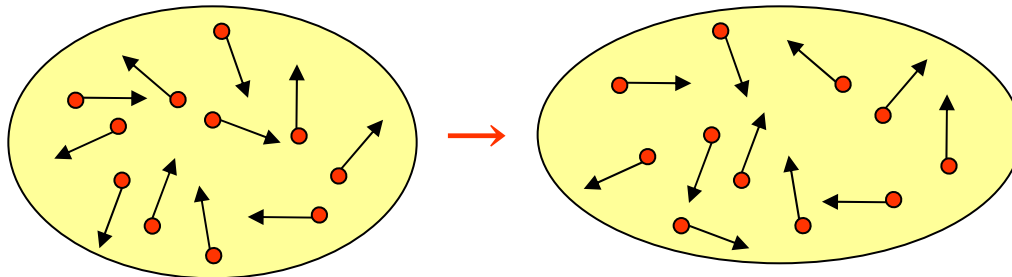
- Macroscopic degree(s) of freedom interacting with microscopic degrees of freedom in thermal motion

散逸(dissipation)

← 摩擦力

揺動(fluctuation)

← ランダム力



- 巨視的自由度と核子自由度との間のエネルギーの移動

■ Macroscopic degrees of freedom

= 原子核の形

(elongation, deformation, neck, mass asymmetry etc.)

揺動散逸力学の基礎方程式

ランジュバン方程式

$$\frac{dq}{dt} = \frac{p}{m} \quad \frac{dp}{dt} = -\frac{\partial U}{\partial q} - \frac{\gamma}{m} p + \sqrt{\gamma T} R(t)$$

$$\langle R(t) \rangle = 0, \quad \langle R(t_1) R(t_2) \rangle = 2\delta(t_1 - t_2)$$

ランダム力を含む粒子の運動方程式

フォッカー・プランク(クラマース)方程式

$$\frac{\partial f}{\partial t} = -\frac{p}{m} \frac{\partial f}{\partial q} + \frac{\partial U}{\partial q} \frac{\partial f}{\partial p} + \frac{\gamma}{m} \frac{\partial}{\partial p} (pf) + \gamma T \frac{\partial^2 f}{\partial p^2}$$

粒子の分布関数に対する偏微分方程式

二つの考え方は等価であることが知られている

Kramers理論による核分裂幅

- ポテンシャル障壁を含む拡散問題

$$\frac{\partial f}{\partial t} = -\frac{p}{m} \frac{\partial f}{\partial q} + \frac{\partial U}{\partial q} \frac{\partial f}{\partial p} + \frac{\gamma}{m} \frac{\partial}{\partial p} (pf) + \gamma T \frac{\partial^2 f}{\partial p^2}$$

- $U =$ パラボラ + 逆パラボラ

- 解析解

$$\Gamma_f = K \frac{\hbar \omega}{2\pi} \exp\left(-\frac{B_f}{T}\right) \quad U = \begin{cases} \frac{1}{2} m \omega^2 q^2 \\ B_f - \frac{1}{2} m \omega_B^2 (q - q_B)^2 \end{cases}$$

$$K = \frac{1}{2\omega_B} \left[\sqrt{\beta^2 + 4\omega_B^2} - \beta \right], \quad \beta = \frac{\gamma}{m}$$

cf. BW $\Gamma_f = \frac{T}{2\pi} \exp\left(-\frac{B_f}{T}\right)$

動力学パラメータ

■ 慣性質量テンソル

- 流体力学的質量
 - Werner-Wheeler質量

■ 摩擦テンソル

- 一体模型と二体模型
- One-body friction
 - Wall formulaとWindow formula
 - 核子が一体ポテンシャルとの衝突によってエネルギーを失う
 - 窓を通して核子をやりとりすることでエネルギーを失う
- Two-body viscosity
 - 核子-核子衝突によるエネルギー損失

殻補正エネルギー

- 原子核が量子力学系であることの反映
- 特定のZ, Nを持つ原子核が特に安定

- 閉殻構造

Z, N = 2, 8, 20, 28, 50, 82, 126
 ${}^4\text{He}$, ${}^{16}\text{O}$, ${}^{40,48}\text{Ca}$, ${}^{56}\text{Ni}$, ${}^{132}\text{Sn}$, ${}^{208}\text{Pb}$

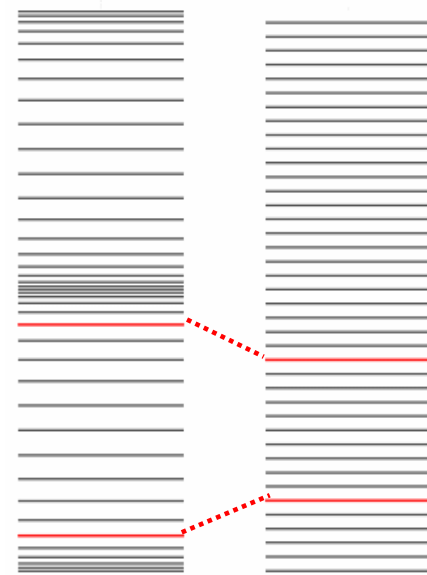
魔法数
魔法核

- 非対称核分裂の起源

- 液滴模型では対称分裂がもっとも有利
- ウランは非対称核分裂する

- 超重元素の存在

- Z=82, N=126の次の魔法数
- Z=114, N=184という予想



殻補正エネルギー

- 一粒子エネルギーの和と平均とのずれ
- Strutinsky法

$$\Delta E_{shell} = \sum_i^N \varepsilon_i - \tilde{E}$$

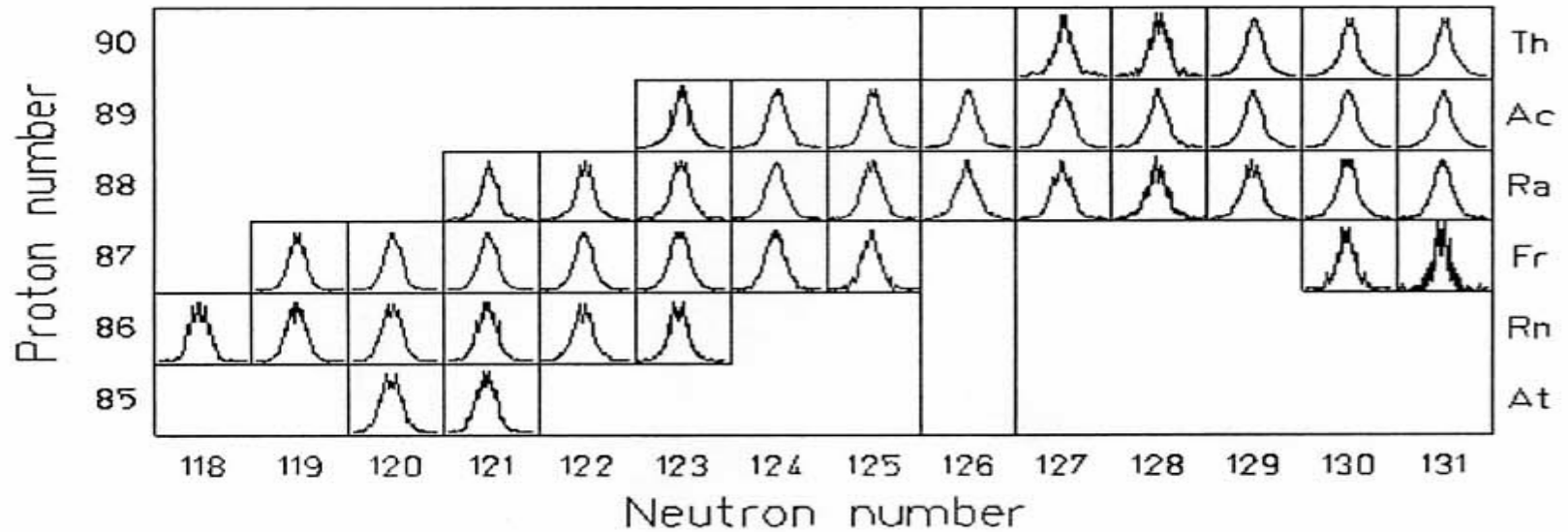
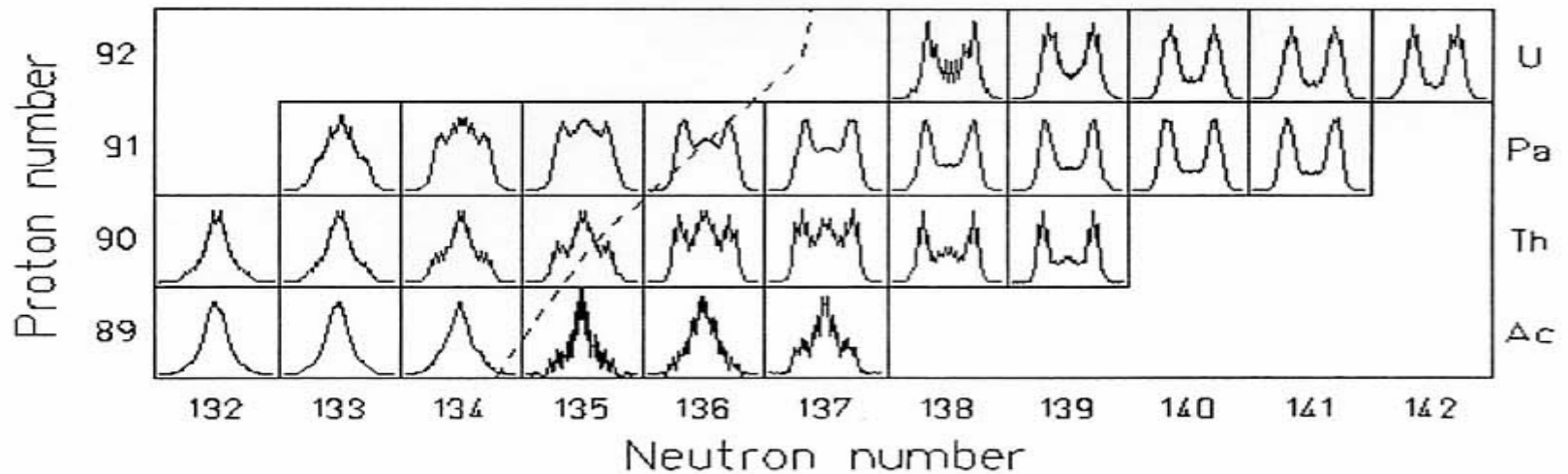
$$N = \int^{\varepsilon_F} g(\varepsilon) d\varepsilon, \quad \tilde{E} = \int^{\varepsilon_F} g(\varepsilon) \varepsilon d\varepsilon$$

$$g(\varepsilon) = \sum_i^N \frac{1}{\sqrt{2\pi}\sigma} \exp\left(-\frac{(\varepsilon - \varepsilon_i)^2}{2\sigma^2}\right) \sum_m H_m\left(\frac{\varepsilon - \varepsilon_i}{\sigma}\right)$$

- 巨視的・微視的モデル

$$\tilde{E} \rightarrow E_{Macro}, \quad E = E_{Macro} + \Delta E_{shell}$$

Fission modes



TKE systematics

■ Viola systematics (1985, V. E. Viola)

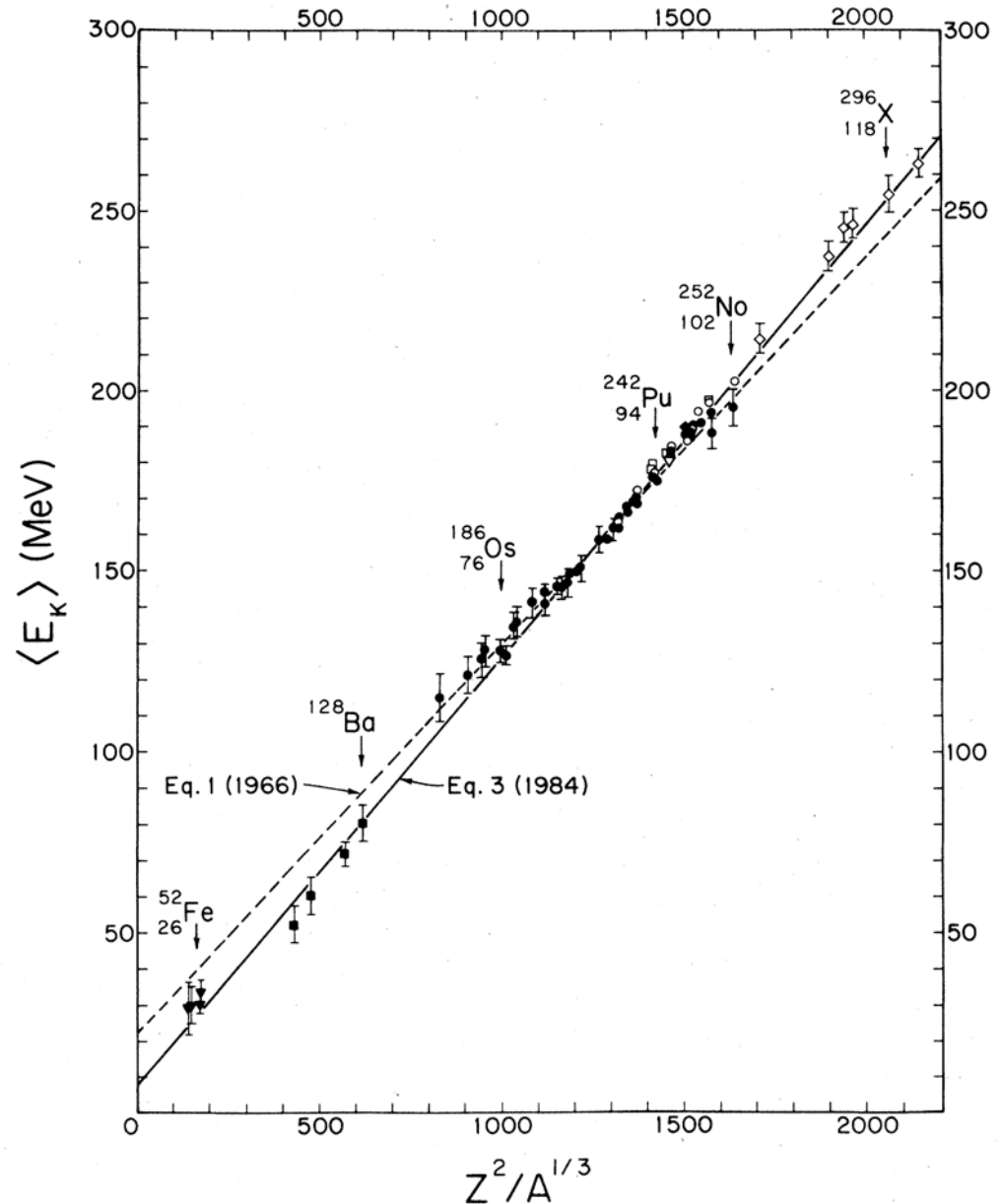
$$\langle E_K \rangle = 0.1071 Z^2 / A^{1/3} + 22.2 \text{ MeV}$$

Data before 1966

$$\langle E_K \rangle = 0.1189 Z^2 / A^{1/3} + 7.3 \text{ MeV}$$

Data up to 1984

- TKEは主に断裂時のクーロンエネルギーによって決まる
- 分裂片の変形に依存



Extension to multi-dimension

Multi-dimensional Langevin equation

$$\frac{dq_i}{dt} = \left(m^{-1}\right)_{ij} p_j \quad i, j, k = 1, \dots, N$$

$$\frac{dp_i}{dt} = -\frac{\partial V}{\partial q_i} - \frac{1}{2} \frac{\partial}{\partial q_i} \left(m^{-1}\right)_{jk} p_j p_k - \gamma_{ij} \left(m^{-1}\right)_{jk} p_k + g_{ij} R_j(t)$$

$$\langle R_i(t) \rangle = 0, \quad \langle R_i(t_1) R_j(t_2) \rangle = 2\delta_{ij} \delta(t_1 - t_2) \quad \sum_k g_{ik} g_{jk} = T\gamma_{ij}$$

$m_{ij}(q)$ Hydrodynamical inertial mass

$\gamma_{ij}(q)$ Wall-and-Window (one-body) friction

$V(q)$ Macro-microscopic potential

$\{q_{ij}\}$: collective parameters

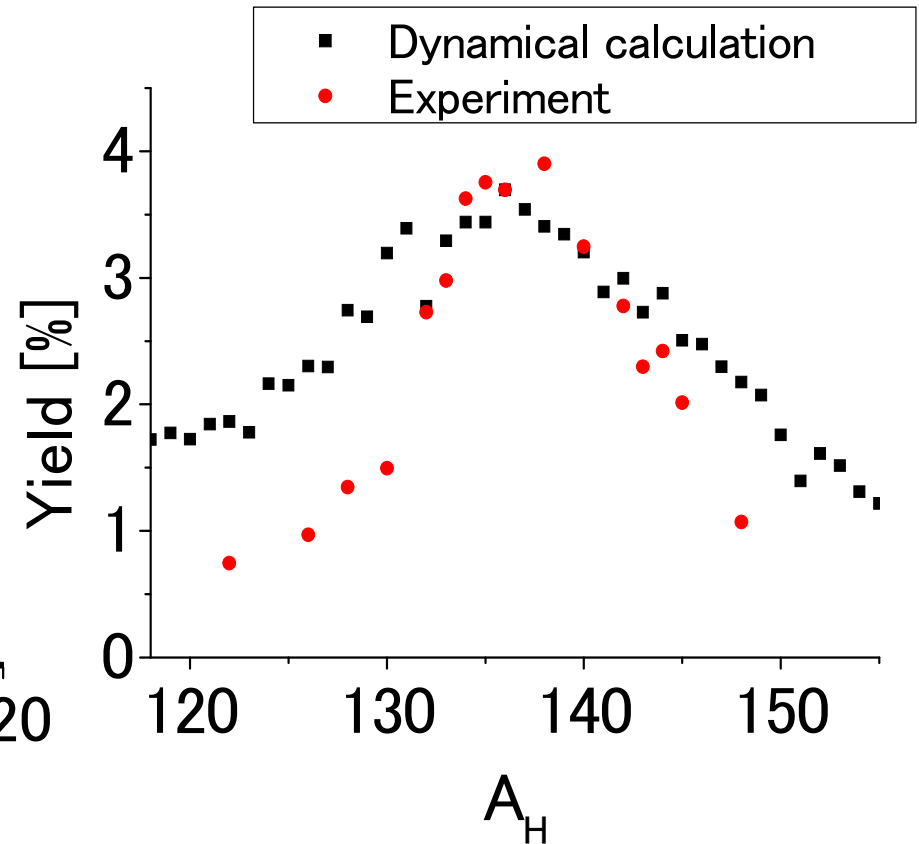
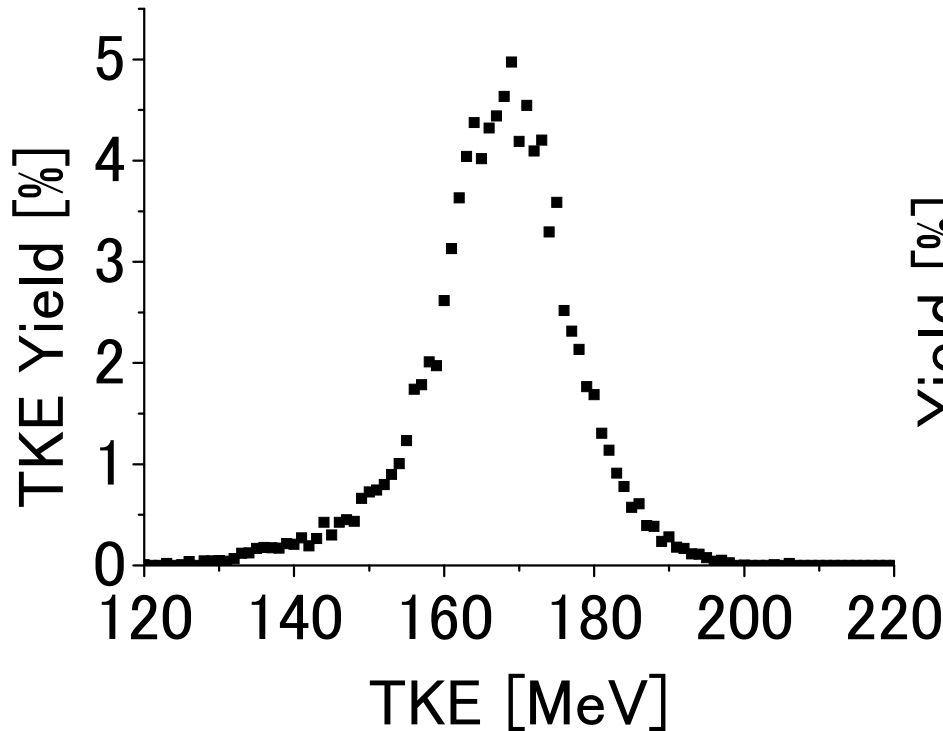
(elongation, fragment deformation, neck parameter, mass asymmetry)

分裂片のTKE分布と質量分布

3次元ランジュバン計算

elongation, fragment deformation, mass-asymmetry

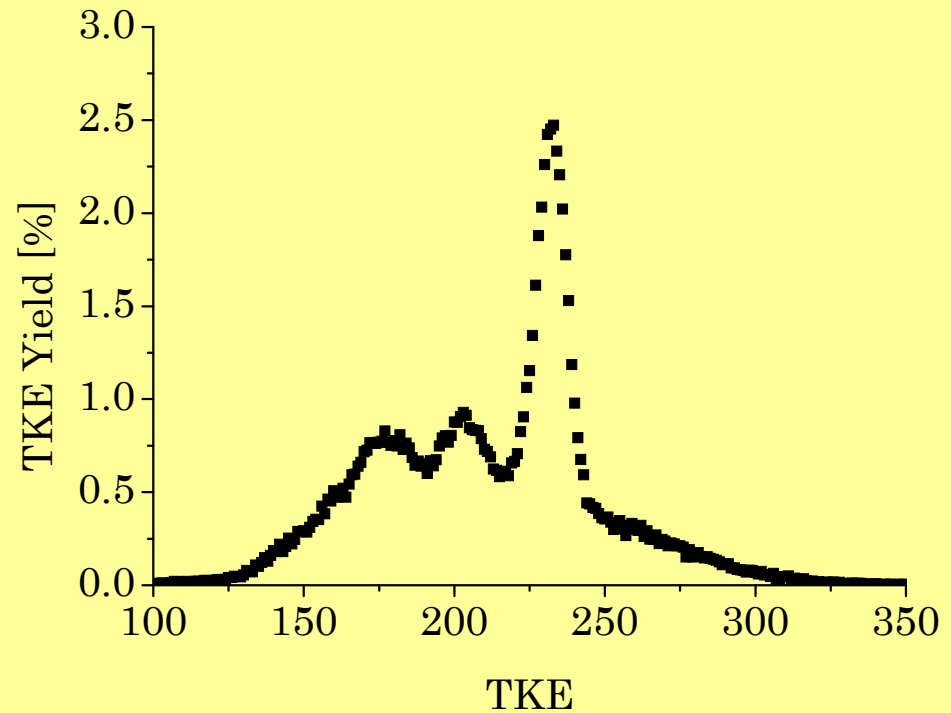
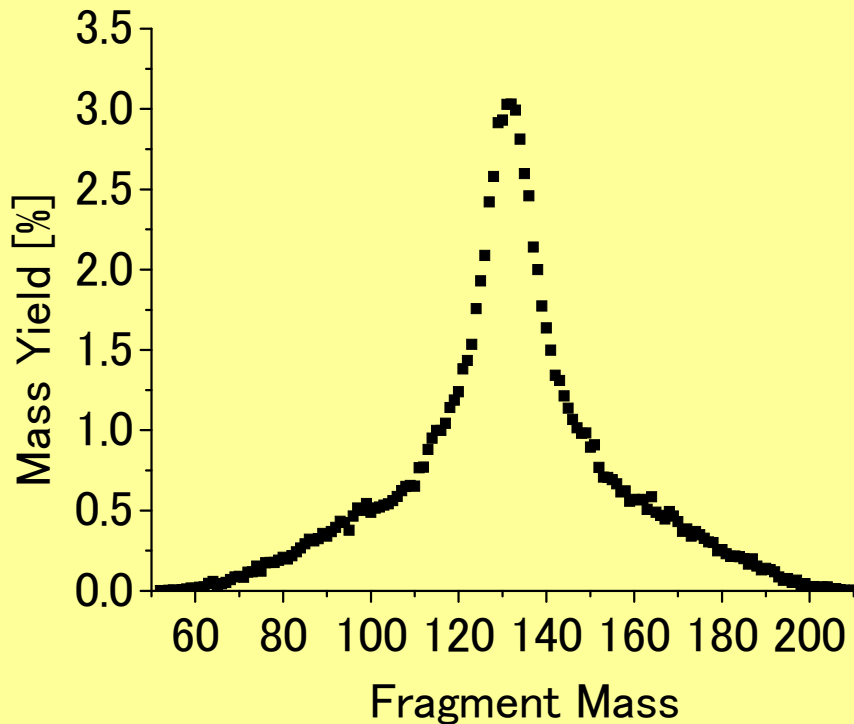
^{236}U , $E_x=20\text{MeV}$



ランジュバン方程式による解析例

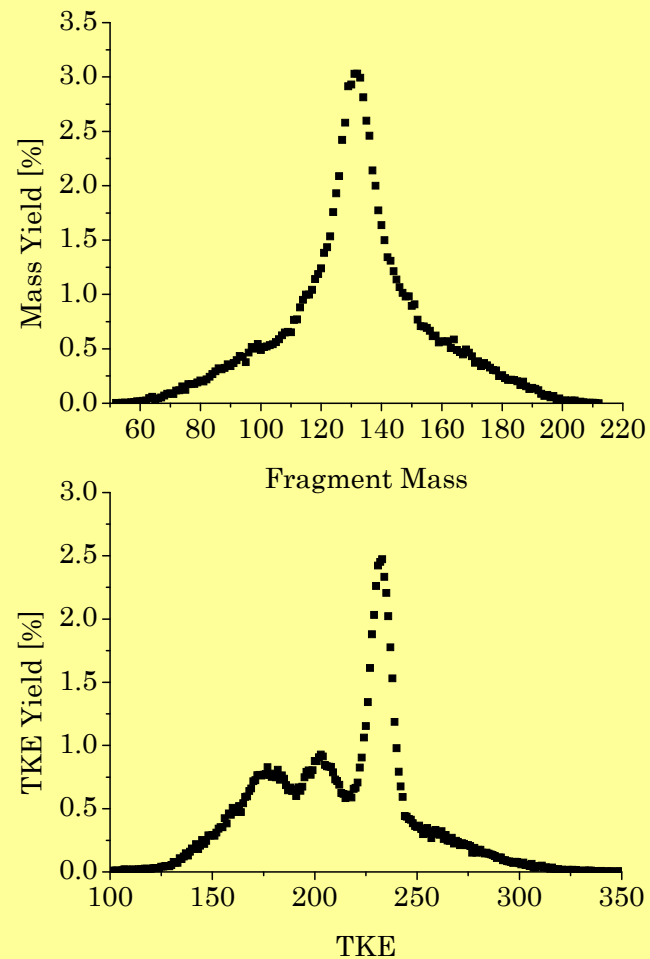
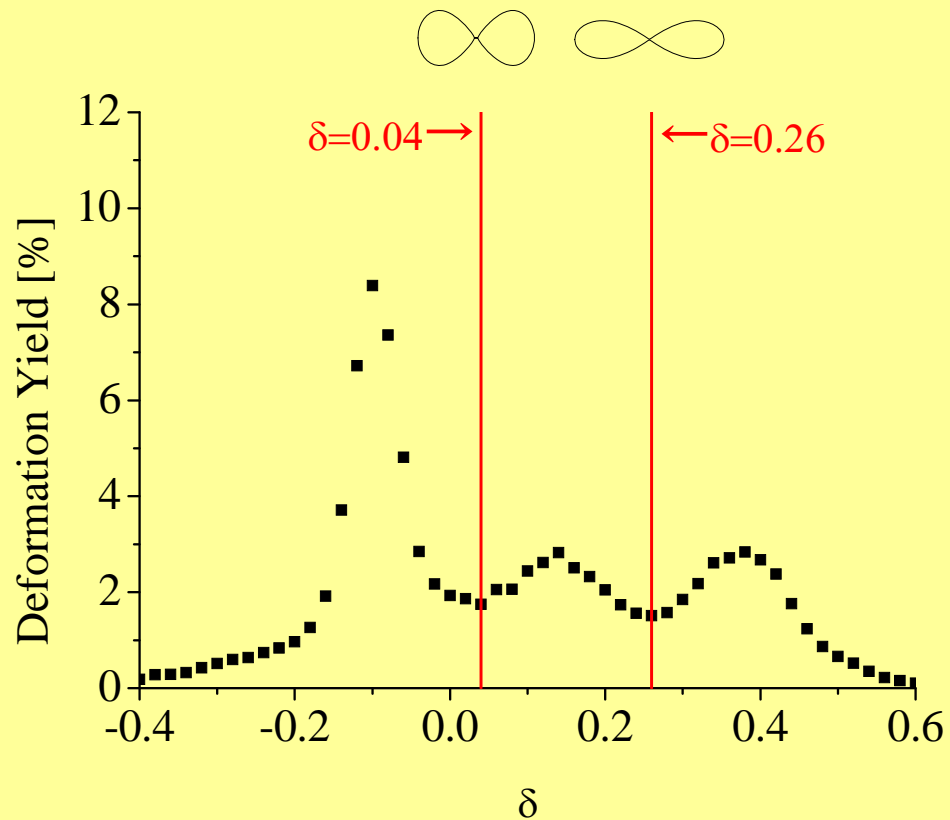
3次元ランジュバン計算

^{264}Fm , $E_x=10\text{MeV}$



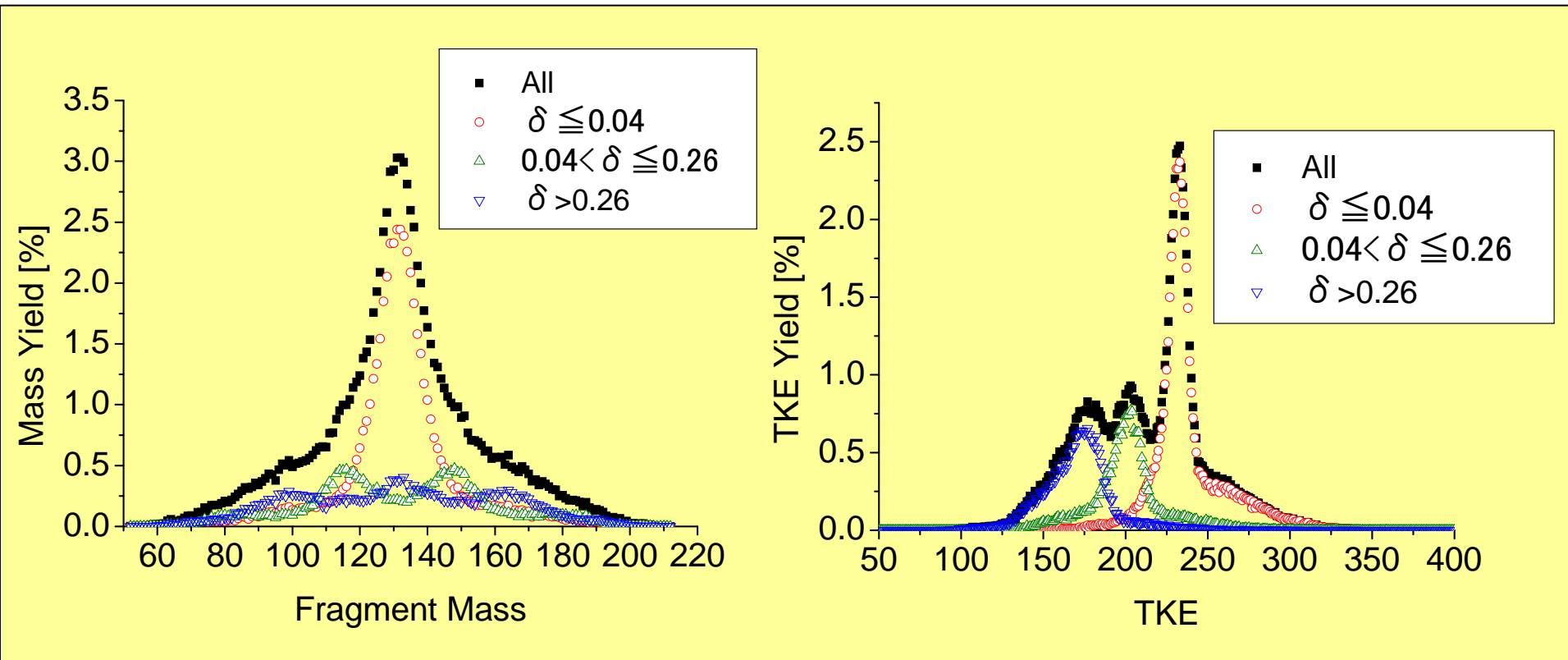
Numbers of the peaks are different in mass and TKE

分裂点の変形度分布



Fission modes

T. Asano et al, (J. Nucl. Radiochem. Sci. 5 (2004) 1)



$\delta \leq 0.04$: Mass-symmetric & High TKE mode

$0.04 < \delta \leq 0.26$: Mass-asymmetric & Medium TKE mode

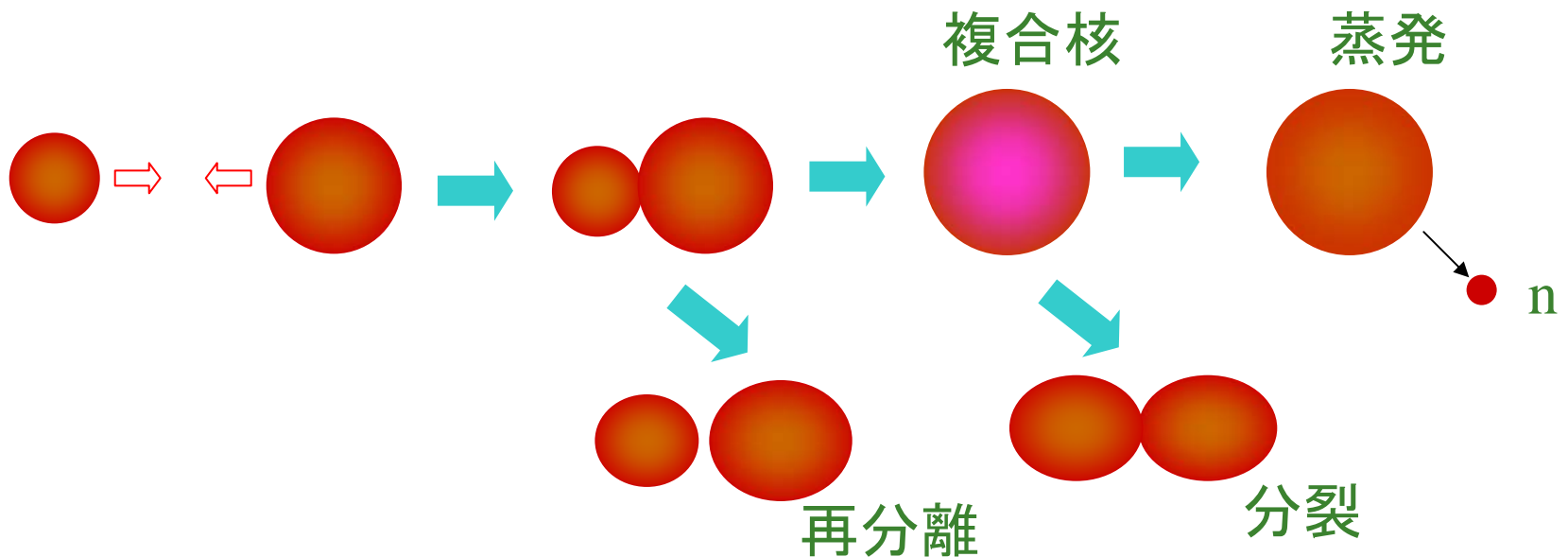
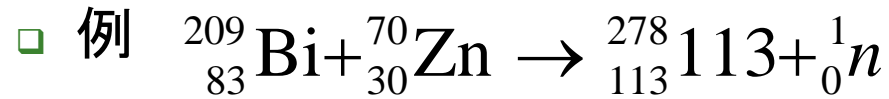
$\delta > 0.26$: Mass-symmetric ? & Low TKE mode

Superheavy Elements

- How many elements can exist in nature?
 - Stability against fission
 - Superheavy elements
 - Shell-stabilized : **No macroscopic fission barrier**
 - Heavy-ion fusion reaction
 - Hot fusion reaction
 - Actinide target + ^{48}Ca projectile
 - $E_{\text{ex}} = 30\text{-}40 \text{ MeV}$
 - Cold fusion reaction
 - Pb, Bi target
 - $E_{\text{ex}} = 10\text{-}15 \text{ MeV}$
-

重イオン核融合反応

- 加速器によって2つの原子核を融合して、原子番号の大きい原子核を作る



重い原子核同士の融合反応

- 軽い原子核の場合、原子核同士が接触すると融合する
- 重い原子核では、接触しても融合に至らない場合がある
 - Fusion hindrance
 - Extra push模型
 - 入射チャンネルのクーロン障壁の奥に、融合障壁が存在する
- 超重元素合成反応を考えるにはFusion hindranceを考慮する必要がある
 - ランジュバン方程式による融合確率の計算
 - Fusion-fission反応とQuasi-fission反応

Fusion hindrance (1次元模型)

$$U = U_B - \frac{1}{2} m \omega_B^2 q^2 \quad \text{Parabolic barrier}$$

■ Formation probability

$$P^{for} = \frac{1}{2} \operatorname{erfc} \left[\left(\frac{aB^2}{K-B} \right)^{1/4} \sqrt{\frac{\beta + \beta'}{2\beta}} \left(1 - \frac{2\omega_B}{\beta + \beta'} \sqrt{\frac{K}{B}} \right) \right]$$

B : extra barrier height

K : extra kinetic energy (at contact)

a : level density parameter

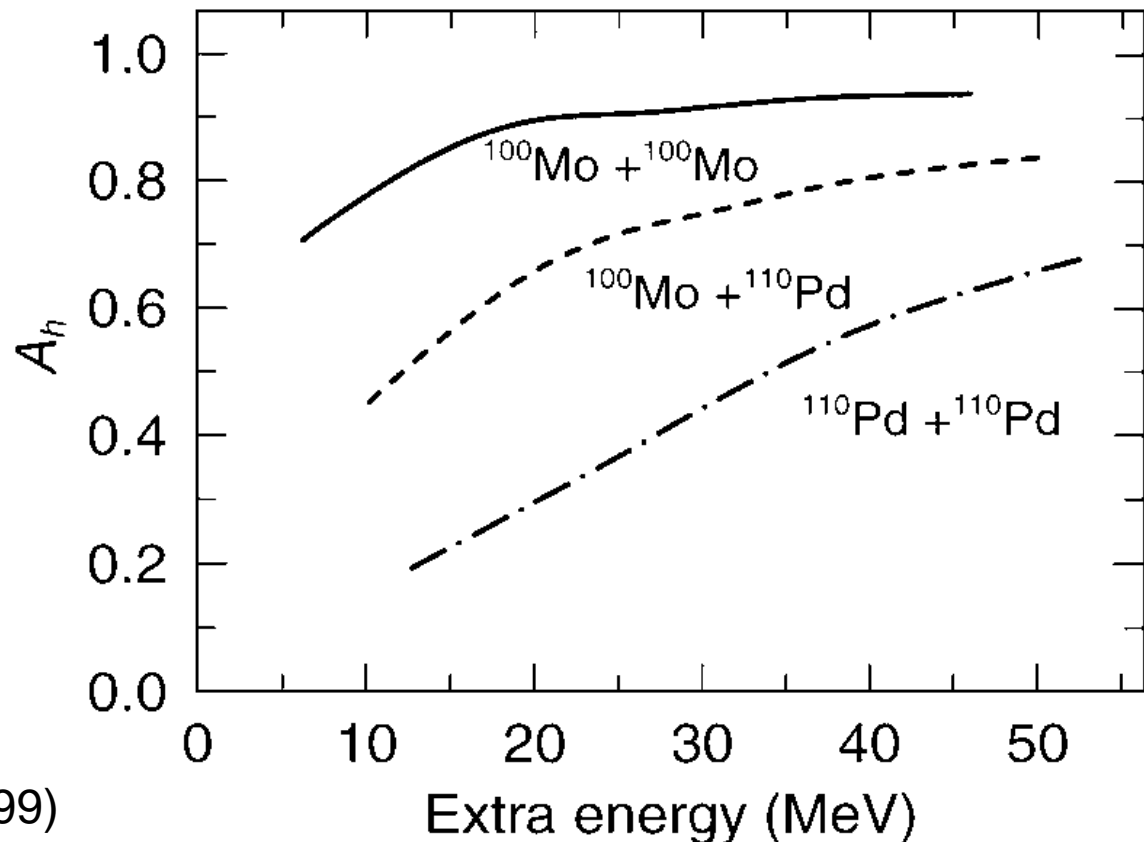
β : reduced friction parameter

■ Strong friction

$$P^{for} = \frac{1}{2} \operatorname{erfc} \left[\left(\frac{aB^2}{K-B} \right)^{1/4} \left(1 - \frac{\omega_B}{\beta} \sqrt{\frac{K}{B}} \right) \right] \quad \beta' = \sqrt{\beta^2 + 4\omega_B^2}$$

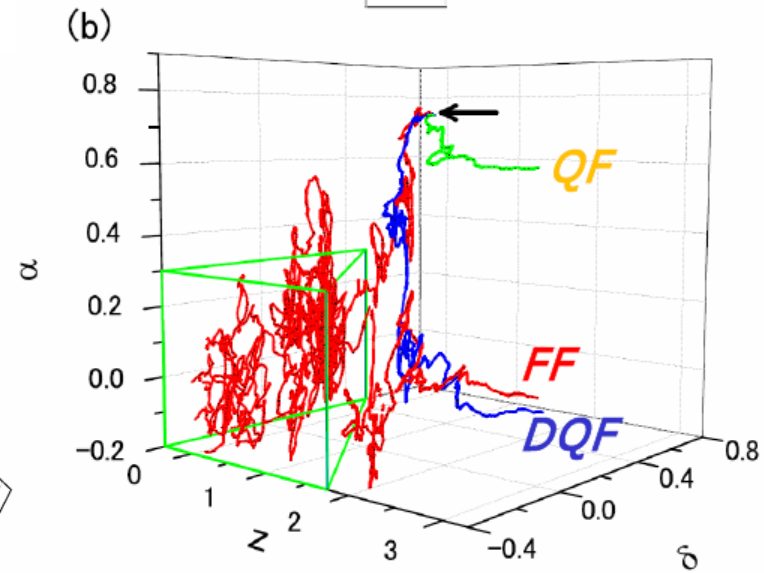
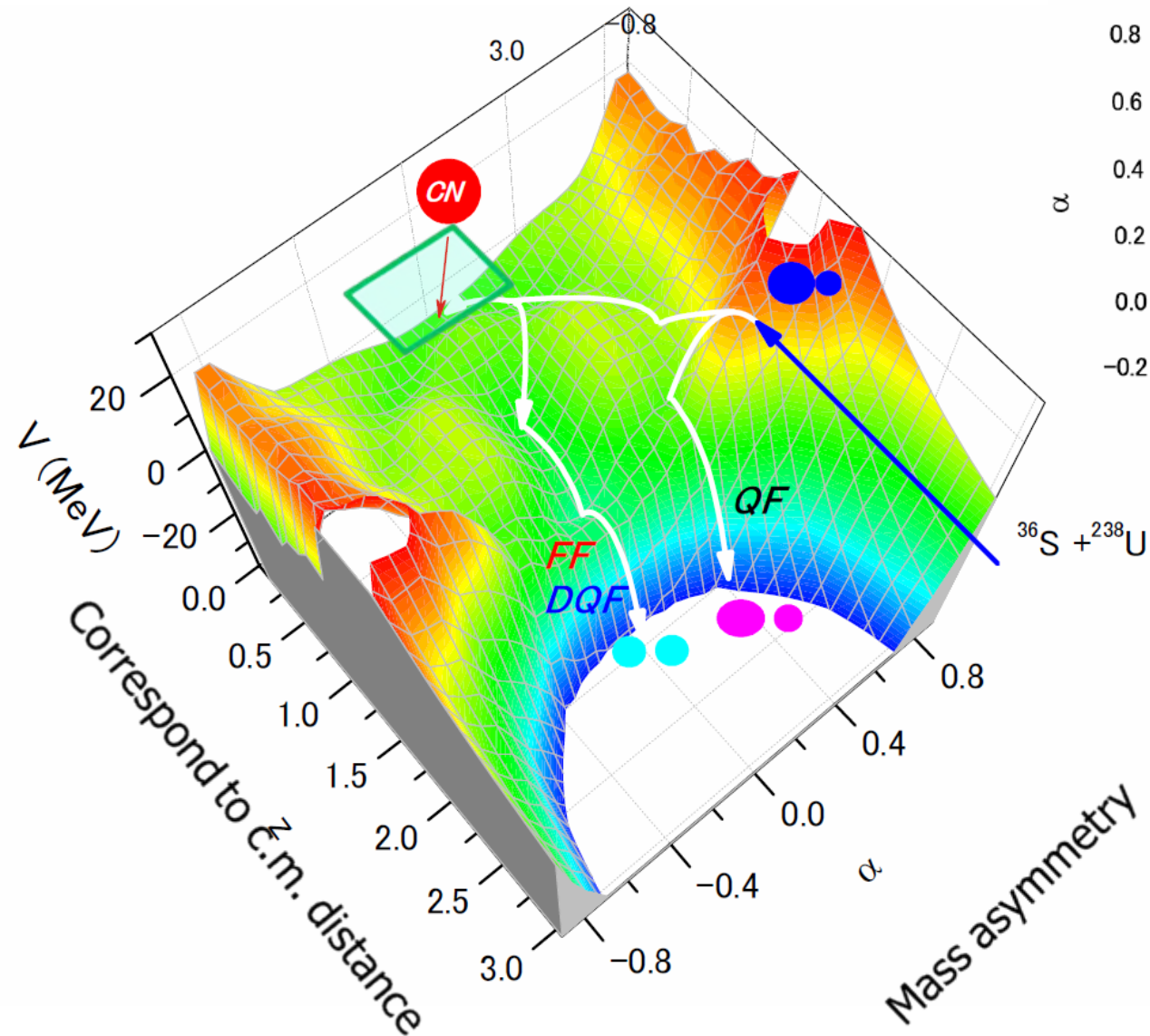
Fusion hindrance

- Extra energy is necessary for fusion
 - Two-dimensional Langevin calculation
 - $Z_1 \times Z_2 > 1600$
 - Dissipation of relative motion



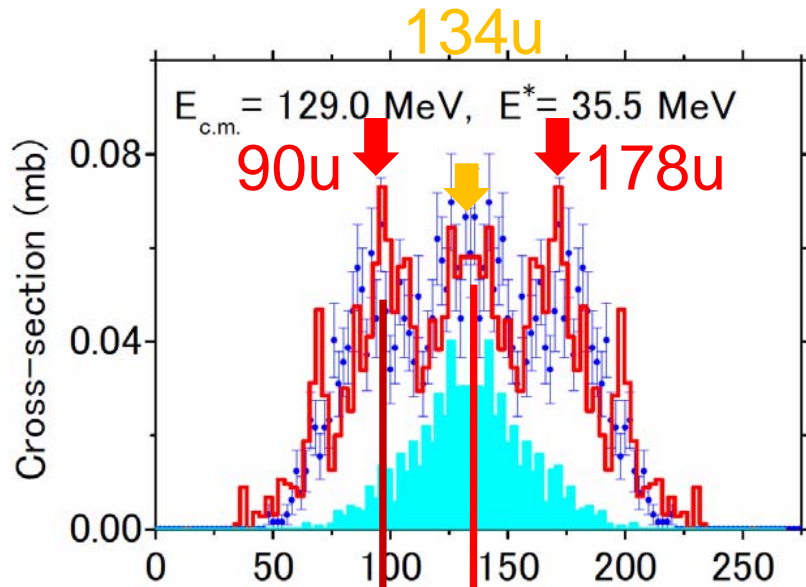
Tokuda, Wada (1999)

Overview of Dynamical Process in reaction $^{36}\text{S} + ^{238}\text{U}$



Calculation by Aritomo

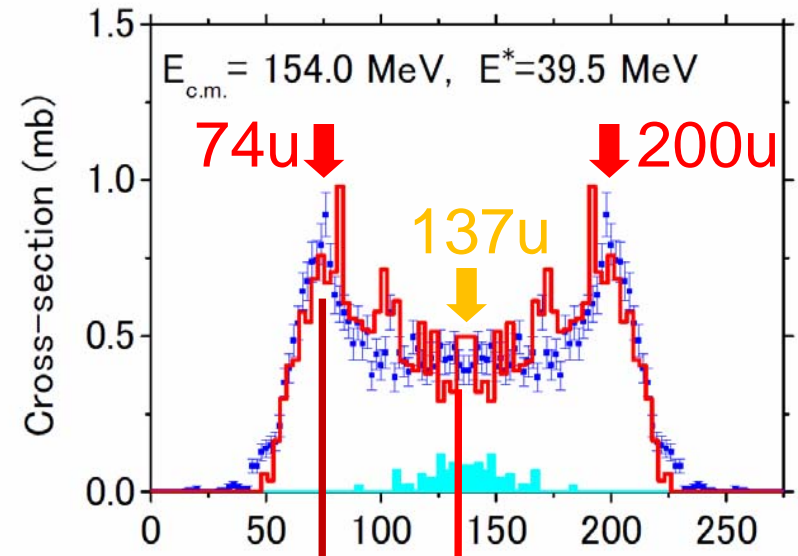
$^{30}\text{Si} + ^{238}\text{U}$



FF and DQF
 $t > 50 \times 10^{-21} \text{ sec}$
 $-0.2 < \delta < 0.2$ (peak 0)

QF via mono-nucleus
 $t < 30 \times 10^{-21} \text{ sec}$
 $0.2 < \delta < 0.5$ (peak 0.4)

$^{36}\text{S} + ^{238}\text{U}$



FF and DQF
 $t < 30 \times 10^{-21} \text{ sec}$
 $0 < \delta < 0.4$ (peak 0.2)

QF
 $t < 10 \times 10^{-21} \text{ sec}$
 $0 < \delta < 0.2$ (peak 0)

- (1) Origin of the reaction process
- (2) Building times
- (3) Deformation of fragments

最近の発展：微視的アプローチ

■ 原子核の質量公式

- 巨視的微視的模型 = Strutinsky法
- 微視的模型 = 自己無撞着平均場近似
 - Hartree-Fock-Bogoliubov
 - Density functional
 - Relativistic mean field

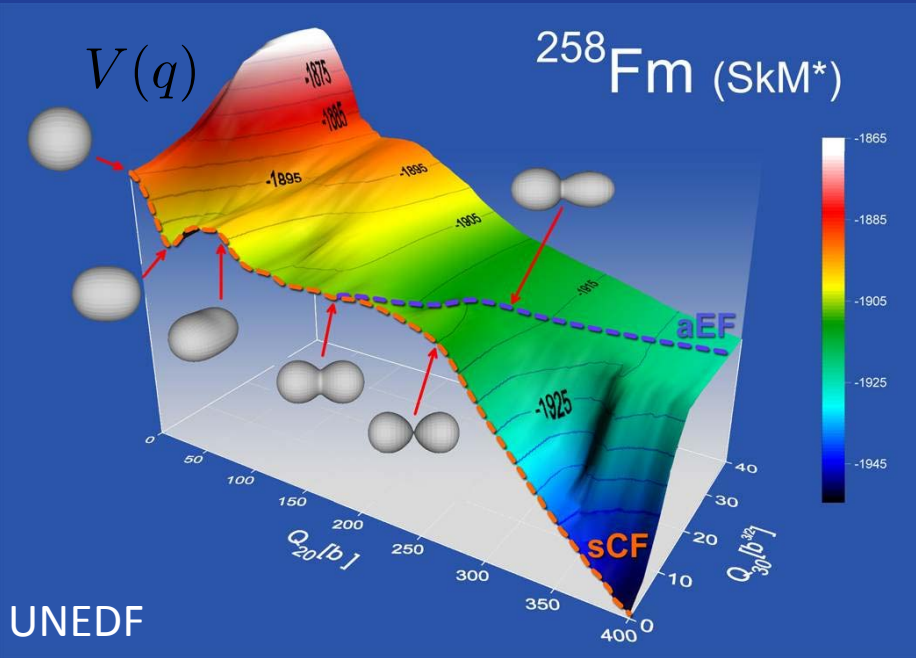
■ 変形ポテンシャル

- Constraint HFB

■ ダイナミカルなアプローチ

- 微視的変形ポテンシャル + 輸送パラメータ
- TDHFB法

Toward a microscopic description of fission dynamics



Hamiltonian for fission dynamics

$$H = \frac{1}{2} \sum_{kl} \mathcal{M}_{kl}(q) \dot{q}_k \dot{q}_l + V_{\text{coll}}(q)$$

Dynamical variables: $q = (q_1, \dots, q_n)$

characterizing a shape of the fissioning nucleus

$$\beta_{20}, \beta_{22}, \beta_{30}, \beta_{40}, \dots$$

What we need is

Collective mass parameters (inertia functions): $\mathcal{M}_{kl}(q)$

Collective potential: $V(q)$

Microscopic input: Skyrme energy-density functional

$$\mathcal{E}_{\text{Sky}} = \sum_{t=0,1} \left\{ C_t^\rho [\rho_{00}] \rho_{t0}^2 + C_t^s [\rho_{00}] \mathbf{s}_{t0}^2 + C_t^{\Delta\rho} \rho_{t0} \Delta\rho_{t0} + C_t^{\Delta s} \mathbf{s}_{t0} \cdot \Delta \mathbf{s}_{t0} \right. \\ \left. + C_t^\tau (\rho_{t0} \tau_{t0} - \mathbf{j}_{t0}^2) + C_t^T (\mathbf{s}_{t0} \cdot \mathbf{T}_{t0} - \overleftrightarrow{\mathbf{J}}_{t0}^2) + C_t^{\nabla J} (\rho_{t0} \nabla \cdot \mathbf{J}_{t0} + \mathbf{s}_{t0} \cdot \nabla \times \mathbf{j}_{t0}) \right\}$$

Time-odd components

no contribution for the ground state

Local QRPA method:

N.Hinohara *et al.*, PRC82(2010)064313

Constrained HFB + local QRPA

$V(q)$

$\mathcal{M}_{kl}(q)$

Thouless-Valatin procedure extended to non-equilibrium points

✓ The local QRPA eqs. on top of the **constrained HFB state**

$$\langle \phi(\beta) | [\hat{H}_{\text{CHFHB}}, \hat{Q}^\nu] - \frac{\hat{P}_\nu}{i} | \phi(\beta) \rangle = 0,$$

$$\langle \phi(\beta) | [\hat{H}_{\text{CHFHB}}, \frac{\hat{P}_\nu}{i}] - \omega_\nu^2 \hat{Q}^\nu | \phi(\beta) \rangle = 0,$$

$$\langle \phi(\beta) | [\hat{Q}^\mu, \frac{\hat{P}_\nu}{i}] | \phi(\beta) \rangle = \delta_\nu^\mu.$$

The most collective K=0+ mode selected: \hat{P}_β

$\mathcal{M}_\beta(\beta)$

Collective vibrational mass for β direction

$$\mathcal{M}_\beta(\beta) = \frac{dq^\beta}{d\hat{Q}_{20}} \frac{dq^\beta}{d\hat{Q}_{20}}, \quad \frac{d\hat{Q}_{20}}{dq^\beta} = \langle \phi(\beta) | [\hat{Q}_{20}, \frac{\hat{P}_\beta}{i}] | \phi(\beta) \rangle$$

今後の展望

- 核分裂の全過程の記述
 - 分裂片の全運動エネルギー・質量分布
 - 粒子放出過程
- 巨視的模型
 - 多自由度空間でのダイナミクス
 - 量子力学的ランジュバン方程式
- 微視的模型
 - 動力学過程の理解
- 不安定核の分裂
 - r-process における役割
- 自発核分裂の理解